

## 斜角支持曲線桁橋の解析

山梨大学工学部 正員 深沢泰晴

1. はじめに 曲線橋では、曲率半径方向に並んだ支点によって支持される場合(図-1a)が解析上は理想的であるが、実際にはこのような支持状態の曲線橋は比較的少ない。道路あるいは河川をまたぐ場合でも、両端部の支持線が平行になるように支点を設け方が合理的な場合が多い(図-1b)。また特に最近のように市街地に建設される高速自動車道に現われる曲線橋にいたる、では、極度に地理的な制約を受けるので、その支持状態は種々難多なものとなり、曲率半径方向に対して任意の斜角を有する場合(図-1c)が避けられない。

このような斜角支持の曲線橋は、直橋における斜橋に対応するものであり、その構造力学上の解析においては、数学的には単なる境界値問題にすぎないので、計算手数の問題を除けば、何ら問題にアベサ事柄はない。ここで著者が既に発表した薄肉曲線桁橋の基礎理論<sup>1)</sup>に基く弾性方程式を任意の斜角支持条件のもとに解き、その解を示す。また二、三の計算例と共に、斜角支持曲線桁橋の特性についても述べる。更に斜角支持の連続曲線桁橋の解法にも言及する。

なお、これらは一本主筋に対するものであるが、並列主筋構造については、断面形保持の仮定のもとに合歛面析におさがることによつて近似的に適用することができる。<sup>2)</sup>

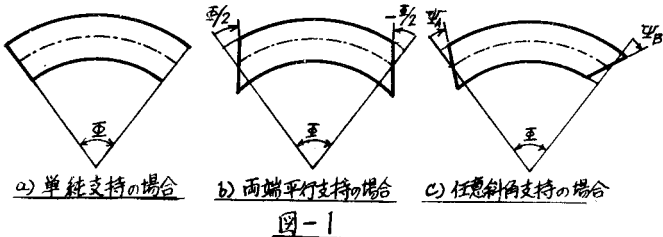
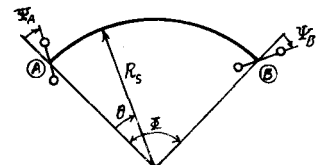


図-1

2. 单径向の斜角支持曲線桁の解法 簡直たゆみ及びねじれ角をそれぞれ  $u^*$ ,  $\varphi^*$  で表わすと、曲線桁の弾性方程式は次式で与えられる。<sup>1)</sup>

$$\left. \begin{aligned} & \left( \frac{R_s}{R_0} E \bar{T}_y + \frac{E G_y^*}{R_0} \right) u^{*T} - G T_y^* u^{*T} - \frac{E G_y^*}{R_s} \varphi^{*T} + (G T_y^* + \frac{R_s}{R_0} E \bar{T}_y) R_s \varphi^* = R_s^4 q_x^* \\ & - \frac{E G_y^*}{R_s^2} u^{*T} + (G T_y^* + \frac{R_s}{R_0} E \bar{T}_y) u^{*T} + \frac{E G_y^*}{R_s^3} \varphi^{*T} - G T_y^* R_s \varphi^* + \frac{R_s}{R_0} E \bar{T}_y R_s \varphi^* = R_s^3 m_z^* \end{aligned} \right\} \quad (1)$$



この微分方程式の一般解は、Reduction Method の手法によれば<sup>3)</sup>

$$\mathbf{Y}(\theta, \gamma) = \mathbf{T} \cdot \mathbf{J}(0, \gamma) \quad \dots \dots \quad (2)$$

と表わすことができる。ここで、 $\theta$  は着目点、 $\gamma$  は載荷点の座標を表わし、 $\mathbf{J}(0, \gamma)$  は着目点における桁の力学的基本量  $u^*$ ,  $\varphi^*$ ,  $q_x^*$ ,  $M_y^*$ ,  $M_z^*$ ,  $T_y^*$ ,  $D_x^*$  のベクトルを表され、 $\mathbf{J}(0, \gamma)$  は  $\textcircled{A}$  支点 ( $\theta=0$ ) におけるそれらの基本量のベクトルを表す。また  $\mathbf{T}$  は曲線桁の Field Matrix を表す。

さて、A 支点で  $\gamma_A$ , B 支点で  $\gamma_B$  なる斜角で支持されている場合の境界条件(図-2)は

$$\left. \begin{aligned} & u^*(0, \gamma) = 0, \varphi^*(0, \gamma) - \phi_A^*(0, \gamma) \cdot \tan \theta_A = 0, M_y^*(0, \gamma) = 0, M_z^*(0, \gamma) - T_y^*(0, \gamma) \cdot \tan \theta_A = 0 \\ & u^*(\gamma_B, \gamma) = 0, \varphi^*(\gamma_B, \gamma) - \phi_B^*(\gamma_B, \gamma) \cdot \tan \theta_B = 0, M_y^*(\gamma_B, \gamma) = 0, M_z^*(\gamma_B, \gamma) - T_y^*(\gamma_B, \gamma) \cdot \tan \theta_B = 0 \end{aligned} \right\} \quad \dots \dots \quad (3)$$

一般解式(2)に境界条件式(3)を適用すれば、支点 A における基本量のベクトル  $\mathbf{J}(0, \gamma)$  を定めることができ、したがって任意断面の基本量のベクトル  $\mathbf{Y}(\theta, \gamma)$  を得る。鉛直荷重に対する解を図示する形で示

せば、例2は  $U^*(\theta, \gamma)$  については [  $\Pi(\theta)$  は Unit Function を表す ] ,

$$\begin{aligned} U^*(\theta, \gamma) &= [K_{u4}(\theta) \cdot \tan \psi_k + K_{u4}(\theta)] R_2 q_k^*(0, \gamma) + K_{u4}(\theta) \cdot R_2^2 q_k^*(0, \gamma) \\ &+ [K_{u5}(\theta) \cdot \tan \psi_k + K_{u5}(\theta)] \frac{R_2 R_1}{E J_y} T_k^*(0, \gamma) + K_{u5}(\theta) \frac{R_2 R_1^2}{E J_y} Q_k^*(0, \gamma) - K_{u5}(\theta) \cdot \frac{R_2 R_1^2}{E J_y} T_k(0, \gamma) \dots \quad (4) \end{aligned}$$

3. 多径向連続の斜角支持曲線析の解法 斜角支持支点における基本量の不連続は  $M_y$ ,  $T_z^*$ ,  $Q_z^*$  にのみ生ずる。いま支点たる左右の断面の基本量のベクトルをそれぞれ  $\bar{J}_k(\psi_k)$ ,  $\bar{J}_{k+1}(0)$  で表すと、これらの量の連続条件式は

$$\left. \begin{array}{l} M_{y,k+1}(0) = M_{y,k}(\psi_k) + \bar{T}_{z,k}^s \sin \psi_k \\ T_{z,k+1}(0) = T_{z,k}(\psi_k) + \bar{T}_{z,k}^s \cos \psi_k \\ Q_{z,k+1}(0) = Q_{z,k}(\psi_k) + Q_{z,k}^s \end{array} \right\} \dots \quad (5)$$

ここで、 $\bar{T}_{z,k}^s$  は支点たるにおける支点線に直角な軸のまわりのモーメント反力、 $Q_{z,k}^s$  は支点たるにおける鉛直反力を表す。式(5)の関係から支点たるにおける Point Matrix  $\Pi_k$  が書ける。

Reduction Method の手法により、最終支点における基本量のベクトル  $\bar{J}_n(\psi_n)$  は第一支点のベクトル  $\bar{J}_1(0)$  によって次のように表わすことができる (図-3),

$$\bar{J}_n(\psi_n) = \bar{J}_{n-1} \cdot \Pi_{n-1} \cdot \bar{J}_{n-2} \cdots \bar{J}_2 \cdot \bar{J}_1 \cdot \bar{J}_1(0) \dots \dots \dots \quad (6)$$

ベクトル  $\bar{J}_1(0)$  は第一支点の  $2x$  基本量及び各中間支点における  $2x(n-1)$  シグラムの支点反力  $\bar{T}_{z,k}^s$ ,  $Q_{z,k}^s$  ( $k=1, 2, \dots, n-1$ ) 合計  $2x(n+3)$  の未知量は式(3)と同様な  $2x$  の境界条件式と各中間支点において成立する  $2x(n-1)$  シグラム条件式 [ $\bar{J}_{k+1}(\psi_k) = 0$ ,  $\bar{q}_{k+1}(\psi_k) - q_{k+1}^*(\psi_k) \tan \psi_k = 0$ ,  $k=1, 2, \dots, n-1$ ] 合計  $2x(n+3)$  シグラムから定まる。これらを知れば各中間支点の Point Matrix  $\Pi_k$  ( $k=1, 2, \dots, n-1$ ) が定まり、ひいては各支点の基本量のベクトル  $\bar{J}_{k+1}(0)$  ( $k=1, 2, \dots, n-1$ ) が次式で求まる,

$$\bar{J}_{k+1}(0) = \bar{J}_k \cdot \bar{F}_k \cdot \bar{J}_{k-1} \cdots \bar{J}_2 \cdot \bar{F}_2 \cdot \bar{J}_1 \cdot \bar{J}_1(0) \dots \dots \dots \quad (7)$$

#### 4. 単径向の斜角支持曲線析橋の計算例

すうな2種類の断面を  
有する円筒形長  $L=30m$  の  
曲線析橋が両端で平行に  
支持されてる場合には

つりて、中心角を  $\theta=0.75$  と  $\theta=1.25$  とに変化させて計算を行なう。両断面の剛性は表-1に示す如くである。

一例として、鉛直集中荷重  $10m$  による最大ねじれ角及ぶ最大曲げねじれモーメントの斜角支持によく現れる様子を表-2, 表-3に示した。

- 1) 深次: 薄内曲線材の静力学的解析に関する基礎理論書、土木学会論文集 N.110, 昭39-10, 式(121)。
- 2) 深次: 並列主桁曲線析の解析(1), 土木技術, Vol.19, 昭39-12。
- 3) 深次: 並列主桁曲線析の解析(2), 土木技術, Vol.20, 昭40-1, 表-1中の  $K_{ij}(0)$  及び荷重強度 Field Matrix の要素である。  $K_{ij}(0)$  の値は具体的には式(53), (54), (57)~(63)で示す。

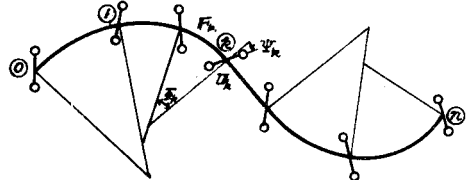


図-3 多径向連続の斜角支持曲線析橋



図-4

表-1 最大ねじれ角( radian )の比較

	コンクリート-鋼合材断面	鋼2箱断面
$\theta=0.75$	単純支持: $5.417 \times 10^{-5}$ 斜角支持: $3.999 \times 10^{-5}$	$1.022 \times 10^{-5}$ $1.099 \times 10^{-6}$
$\theta=1.25$	単純支持: $1.153 \times 10^{-4}$ 斜角支持: $5.831 \times 10^{-5}$	$2.102 \times 10^{-5}$ $2.062 \times 10^{-6}$

表-2 最大曲げねじれモーメント(m<sup>3</sup>)の比較

	コンクリート-鋼合材断面	鋼2箱断面
$\theta=0.75$	単純支持: 14.74 斜角支持: 19.23	0.738 0.679
$\theta=1.25$	単純支持: 27.74 斜角支持: 20.33	1.363 1.071